

РАЗВИТИЕ ОБЛАСТИ ТУРБУЛИЗОВАННОЙ ЖИДКОСТИ  
В СТРАТИФИЦИРОВАННОЙ СРЕДЕ<sup>1</sup>

О. Ф. ВАСИЛЬЕВ, Б. Г. КУЗНЕЦОВ, Ю. М. ЛЫТКИН,  
Г. Г. ЧЕРНЫХ

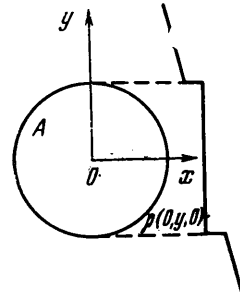
(Новосибирск)

Рассматривается плоская нестационарная задача о развитии области турбулентных возмущений в несжимаемой стратифицированной жидкости. В начальный момент времени внутри области конечных размеров задается энергия турбулентности. Предложена полуэмпирическая система уравнений, описывающая этот процесс. Приведены данные численных расчетов, иллюстрирующие первоначальное расширение области в результате турбулентной диффузии, ее последующее сжатие по вертикали («коллапс») под действием сил плавучести и генерируемые коллапсом внутренние волны.

1. В последние годы рядом авторов рассматривалась плоская нестационарная задача о течении, возникающем в результате коллапса области жидкости постоянной плотности, окруженной слабо стратифицированной жидкостью (фиг. 1), причем предполагалось, что плотность в заданной области стала одинаковой в результате перемешивания стратифицированной жидкости в пределах этой области. Экспериментально такая задача была детально изучена в [1]. В [2] выполнен численный анализ явления, основанный на системе уравнений стратифицированного течения (в приближении Буссинеска). Результаты расчетов, и в частности картина возникающих при коллапсе внутренних волн, оказались в удовлетворительном соответствии с экспериментальными данными [1]. В [3] численно и аналитически исследовано течение внутри области перемешанной жидкости и деформация ее границы, причем предполагалось, что на этой границе давление распределено по гидростатическому закону. Аналитическое исследование явления, основанное на линеаризованных уравнениях идеальной стратифицированной жидкости, выполнено также в [4-6]. В [7] рассмотрены внутренние волны, возникающие в результате коллапса области неоднородной жидкости со стратификацией, отличной от стратификации окружающей жидкости.

Во всех перечисленных работах предполагалось, что движение в стратифицированной жидкости возникает лишь вследствие нарушения некоторого имевшегося ранее распределения плотности. В данной работе учитывается также начальная интенсивность турбулентных возмущений в области смешения. В связи с этим в исходный момент времени  $t=0$  внутри области перемешанной жидкости задается также кинетическая энергия турбулентности. Если эта энергия достаточно велика, то вначале вследствие турбулентной диффузии будет происходить расширение области как по вертикали, так и по горизонтали, и лишь через некоторый промежуток времени начнется сжатие области по вертикали, т. е. собственно коллапс. Качественное экспериментальное исследование такого процесса выполнено в [8].

2. Предположим, что турбулентность в области смешения является бессдвиговой — касательные турбулентные напряжения отсутствуют. Будем полагать также, что осредненное конвективное течение, индуцируемое силами плавучести, представляет собой движение типа внутренних волн и не порождает турбулентности. В осредненных уравнениях движения пренебрежем за малостью членами, нелинейными по горизонтальной и верти-



Фиг. 1

<sup>1</sup> Работа доложена на Международном симпозиуме по стратифицированным течениям (Новосибирск, 29—31 августа 1972 г.).

кальной компонентам осредненной скорости  $\langle u \rangle$  и  $\langle v \rangle$ , а также членами с молекулярной вязкостью.

Введем следующие гипотезы:

$$\begin{aligned} -\left\langle u' \left( \frac{u'^2 + v'^2 + w'^2}{2} + \frac{p'}{\rho_0} \right) \right\rangle &= K_x \frac{\partial e}{\partial x} \\ -\left\langle v' \left( \frac{u'^2 + v'^2 + w'^2}{2} + \frac{p'}{\rho_0} \right) \right\rangle &= K_y \frac{\partial e}{\partial y} \\ -\langle \rho' u' \rangle &= K_x \frac{\partial \langle \rho \rangle}{\partial x} = K_x \frac{\partial \langle \rho_1 \rangle}{\partial x}, \\ -\langle \rho' v' \rangle &= K_y \frac{\partial \langle \rho \rangle}{\partial y} = K_y \left( \frac{\partial \langle \rho_1 \rangle}{\partial y} + \frac{d \rho_s}{dy} \right) \end{aligned}$$

и положим также

$$\langle u'^2 \rangle = \langle v'^2 \rangle = \langle w'^2 \rangle = 2/3e, \quad e = \langle u'^2 + v'^2 + w'^2 \rangle / 2$$

Здесь  $\rho_s = \rho_s(y)$  — плотность невозмущенной среды вне области смешения,  $\rho_1 = \rho - \rho_s$  — дефицит плотности среды;  $\rho'$ ,  $u'$ ,  $w'$ ,  $v'$ ,  $p'$  — турбулентные флуктуации плотности, горизонтальных и вертикальной компонент скорости и давления;  $K_x$ ,  $K_y$  — горизонтальный и вертикальный коэффициенты турбулентной диффузии. Будем считать, что стратификация невозмущенной жидкости вне области смешения является линейной и устойчивой, т. е.  $d\rho_s/dy = -ap_0$ , где  $a = \text{const} > 0$ ,  $\rho_0 = \rho_s(0)$ .

С учетом этих допущений осредненные уравнения движения, несжимаемости, неразрывности и уравнение энергии турбулентности, записанные в приближении Буссинеска, будут иметь вид (знак осреднения опущен)

$$(2.1) \quad \frac{\partial u}{\partial t} = -\frac{1}{\rho_0} \frac{\partial p_1}{\partial x} - \frac{2}{3} \frac{\partial e}{\partial x}, \quad \frac{\partial v}{\partial t} = -\frac{1}{\rho_0} \frac{\partial p_1}{\partial y} - \frac{2}{3} \frac{\partial e}{\partial y} - g \frac{\rho_1}{\rho_0}$$

$$(2.2) \quad \frac{\partial u}{\partial x} + \frac{\partial v}{\partial y} = 0$$

$$(2.3) \quad \frac{\partial \rho_1}{\partial t} + u \frac{\partial \rho_1}{\partial x} + v \frac{\partial \rho_1}{\partial y} - av \rho_0 = \frac{\partial}{\partial x} K_x \frac{\partial \rho_1}{\partial x} + \frac{\partial}{\partial y} K_y \frac{\partial \rho_1}{\partial y} - ap_0 \frac{\partial K_y}{\partial y}$$

$$(2.4) \quad \frac{\partial e}{\partial t} + u \frac{\partial e}{\partial x} + v \frac{\partial e}{\partial y} = \frac{\partial}{\partial x} K_x \frac{\partial e}{\partial x} + \frac{\partial}{\partial y} K_y \frac{\partial e}{\partial y} + g \frac{K_y}{\rho_0} \left( \frac{\partial \rho_1}{\partial y} - ap_0 \right) - \varepsilon$$

Здесь  $p_1$  — отклонение давления от гидростатического, обусловленного стратификацией по плотности  $\rho_s(y)$ ;  $g$  — ускорение силы тяжести;  $\varepsilon$  — скорость диссипации энергии турбулентности в тепло.

Введением функции тока по формулам  $u = \partial \psi / \partial y$ ,  $v = -\partial \psi / \partial x$  система уравнений (2.1), (2.2) преобразуется в одно уравнение

$$(2.5) \quad \frac{\partial}{\partial t} \left( \frac{\partial^2 \psi}{\partial x^2} + \frac{\partial^2 \psi}{\partial y^2} \right) = \frac{g}{\rho_0} \frac{\partial \rho_1}{\partial x}$$

Границные и начальные условия для системы (2.3) — (2.5) следующие:

$$(2.6) \quad \rho_1 = \psi = e = 0 \quad (x^2 + y^2 \rightarrow \infty)$$

$$(2.7) \quad \rho = \rho_0, \quad e = e_0 = \text{const} \quad (x, y \subset A, t=0)$$

$$(2.8) \quad \rho = \rho_s, \quad e = 0 \quad (x, y \notin A, t=0)$$

$$(2.9) \quad \psi = 0 \quad (-\infty < x < \infty, -\infty < y < \infty, t=0)$$

Здесь  $A$  – область конечных размеров, граница которой предполагается симметричной относительно осей  $x$  и  $y$ .

Коэффициенты турбулентной диффузии  $K_x$ ,  $K_y$  и скорость диссипации  $\varepsilon$  представим в форме

$$(2.10) \quad K_x = \kappa \sqrt{e} L_x, \quad K_y = \kappa \sqrt{e} L_y, \quad \varepsilon = \alpha (K_x e L_x^{-2} + K_y e L_y^{-2}) / 2$$

$$(2.11) \quad e(L_x, 0, t) = e_m / 2, \quad e(0, L_y, t) = e_m / 2, \quad e_m = e(0, 0, t)$$

Равенства (2.11) служат для определения масштабов длины  $L_x$ ,  $L_y$ .

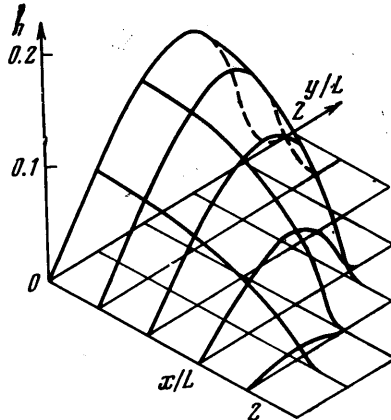
Система уравнений (2.3)–(2.5) с указанными граничными и начальными условиями была решена численно методом дробных шагов [9]. При этом из соображений симметрии вычисления выполнялись лишь в первом квадранте плоскости  $xy$  с использованием граничных условий

$$(2.12) \quad \psi = \partial \rho_1 / \partial x = \partial e / \partial x = 0 \quad (x=0, y \geq 0); \quad \psi = \rho_1 = \partial e / \partial y = 0 \quad (x \geq 0, y=0)$$

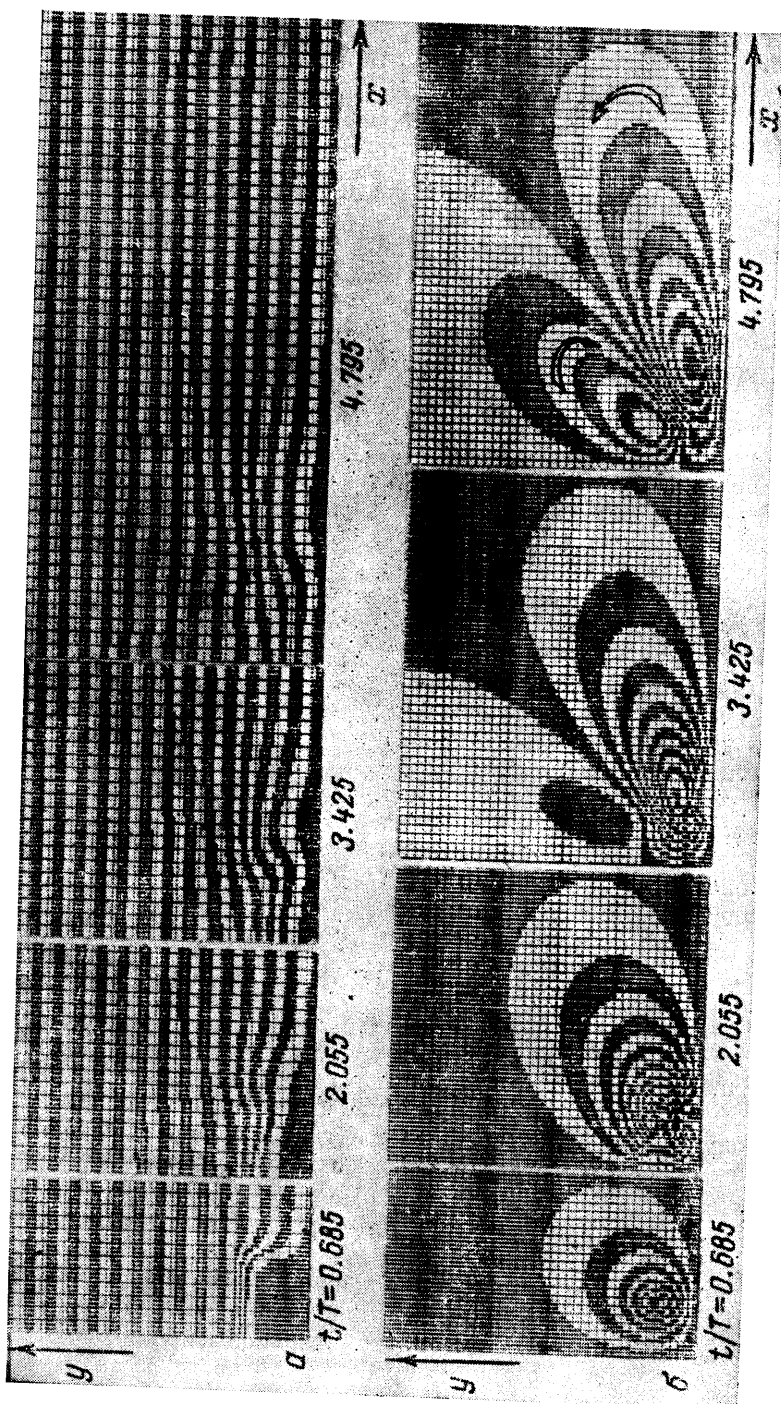
Вместо области  $A$  теперь фигурирует ее часть  $A_1$  в первом квадранте. Численные расчеты проводились в прямоугольнике  $0 \leq x \leq x_*, 0 \leq y \leq y_*$ , при этом граничные условия (2.6) из бесконечности сносились на границы прямоугольника  $x=x_*$ ,  $y=y_*$ . Прямоугольник выбирался достаточно большим, чтобы значения функции тока, энергии турбулентности и дефицита плотности в окрестности границы прямоугольника в течение рассматриваемого интервала времени были близки к нулю.

Коэффициенты  $\kappa$  и  $\alpha$  в (2.10) для  $K_x$ ,  $K_y$ ,  $\varepsilon$  брались равными 0.16 и 7.8 из следующих соображений. В случае однородной по плотности жидкости, когда  $a=\rho_1=0$ , конвективное течение отсутствует в силу граничного и начального условий (2.6), (2.9) и уравнение энергии турбулентности (2.4) аналогично уравнению, описывающему развитие безызлучистого турбулентного следа в однородной жидкости на достаточно больших расстояниях от тела [10]. Поэтому постоянные  $\kappa$  и  $\alpha$  были выбраны такими, чтобы автомодельное решение уравнения энергии турбулентности  $e=e_m f(r/L)$  в случае однородной жидкости удовлетворительно согласовывалось с экспериментальными данными [10] (здесь  $r=\sqrt{x^2+y^2}$ ,  $L=L_x=L_y$ ). Это решение было найдено из анализа численного решения уравнения энергии турбулентности при достаточно больших значениях  $t$ .

Представляет интерес процесс турбулентной диффузии плотности (температуры, солености) в пассивно-стратифицированной жидкости, когда  $u=v=g=0$  и уравнение (2.3) имеет автомодельное решение  $\rho_1=\rho_0 a L h(x/L, y/L)$ , описывающее трансформацию профиля плотности, вызванную точечным источником турбулентности. Функция  $h(x/L, y/L)$  была определена в результате численного решения системы уравнений (2.3), (2.4) при сделанном предположении ( $u=v=g=0$ ) и изображена на фиг. 2. Из этой фигуры видно, что турбулентная диффузия приводит к неполному перемешиванию жидкости: в турбулизованной области среда остается неоднородной, но со стратификацией, отличной от  $\rho_1(y)$ .



Фиг. 2



Фиг. 3

3. Алгоритм решения задачи заключается в выполнении следующих четырех циклов: отыскания  $\partial\psi(x, y, t)/\partial t$  в узлах разностной сетки из уравнения (2.5), определения  $\psi(x, y, t+\Delta t)$  в узлах сетки по найденным значениям функции  $\partial\psi/\partial t$ , решения уравнения энергии турбулентности (2.4), решения уравнения неразрывности (2.3). Для отыскания функции  $\partial\psi/\partial t$  использовалась итерационная схема стабилизирующей поправки [9], аппроксимирующая уравнение (2.5) со вторым порядком по переменным  $x, y$ , являющаяся абсолютно сходящейся и обладающая свойством полной аппроксимации.

Уравнения энергии турбулентности (2.4) и неразрывности (2.3) решались с помощью схемы расщепления [9], аппроксимирующей данные уравнения с первым порядком по времени и вторым по пространственным переменным, причем при интегрировании уравнения энергии турбулентности значение энергии в величинах  $K_x, K_y$  бралось с предыдущего временного слоя. Устойчивость и сходимость алгоритма решения задачи (2.3) — (2.5) с соответствующими граничными и начальными условиями (2.6) — (2.9) проверялись экспериментально в ходе расчетов.

4. При отсутствии турбулентных возмущений, когда  $e=0$ , поставленная задача аналогична изучавшейся в [1—6]. Выполненные для этого случая расчеты проводились на квадратной разностной сетке с числом ячеек  $59 \times 38$ ; область  $A_1$  представляла собой квадрат размером  $6 \times 6$  ячеек. На фиг. 3, а изображены линии равной плотности  $(\rho_0 - \rho)/aL_0\rho_0 = \text{const}$  с интервалом 0.167. На этой фигуре и ниже изолиниям соответствуют границы между заштрихованными и незаштрихованными областями,  $L_0$  — характерный размер (ширина) области смешения  $A_1$  в начальный момент времени,  $T=1/\sqrt{ag}$  — период Вайсля — Брента. Приведенная на фиг. 3, а картина внутренних волн, индуцируемых коллапсом, аналогична полученной в [1, 2].

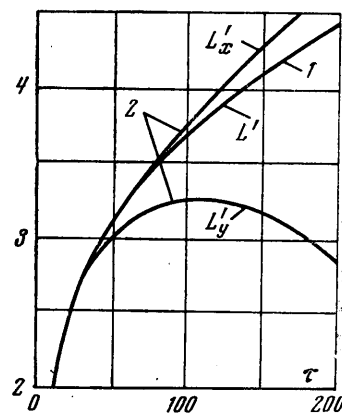
Представляет также интерес конвективное течение, возникающее в этом случае (фиг. 3, б; линии тока  $\psi T/L_0^2 = \text{const}$  проведены с интервалом 0.01). Вначале это течение представлено лишь одним вихрем; при значении  $t/T \approx 3$  вблизи оси  $y$  появляется второй вихрь. При больших значениях  $t/T$  вблизи оси  $y$  возникают третий, четвертый и последующий вихри, в то время как ранее возникшие вихри оттесняются к оси  $x$ . В результате гребни и впадины внутренних волн непрерывно смещаются вдоль оси  $x$ .

5. Развитие области смешения при наличии турбулентности существенно зависит от параметра

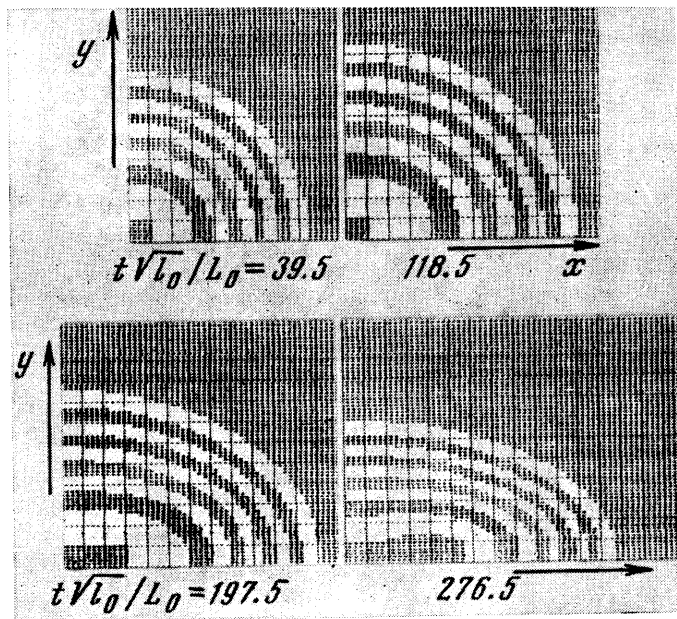
$$R = \iint_A \rho_0 e_0 dx dy / \iint_A g y \rho_1 dx dy$$

равного отношению кинетической энергии турбулентности к потенциальной энергии, обусловленной отклонением плотности  $\rho_1$ , в зоне смешения в начальный момент времени. Рассмотренный в п. 4 случай  $e=0$  соответствует значению  $R=0$ .

Представленные на фиг. 4—6 результаты получены при  $R=3e_0/agL_0^2=10^4$  на такой же разностной сетке, как в п. 4; область  $A_1$  задавалась в виде квадрата размером  $2 \times 2$  ячеек. На фиг. 4 сравниваются характеристические поперечные размеры турбулизированной области  $L_x', L_y'$  для случаев однородной и стратифицированной жидкостей (на этой фигуре цифра 1 относится к случаю однородной жидкости, когда  $L_x=L_y=L, L'=L/L_0$ :



Фиг. 4



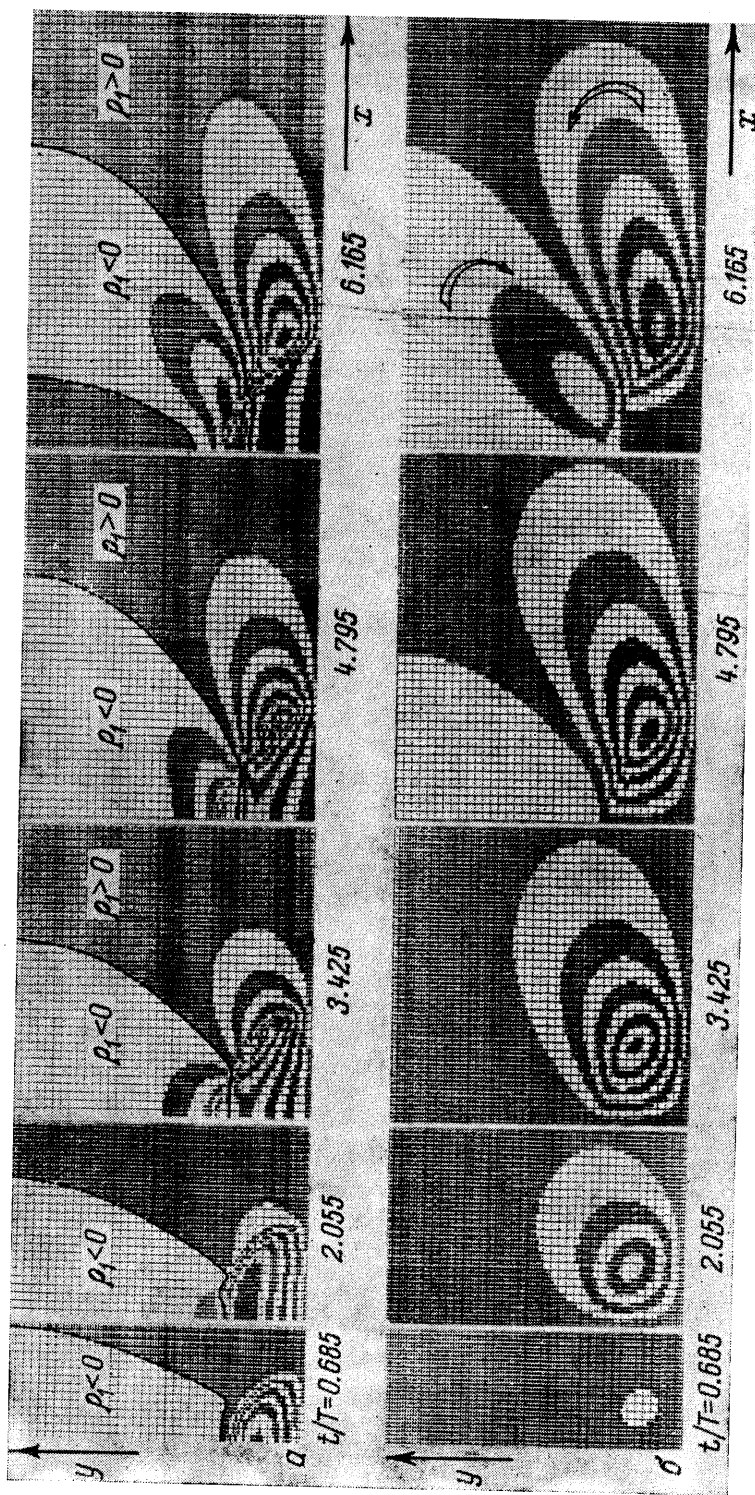
Фиг. 5

цифрой 2 отмечены размеры турбулизованной области в стратифицированной среде;  $L_x' = L_x/L_0$ ,  $L_y' = L_y/L_0$ ,  $\tau = t\sqrt{e_0}/L_0$ ). Данные об изменении энергии турбулентности  $e_m(t)$  в центре области смешения для однородной (I) и стратифицированной (II) жидкостей приводятся ниже

$\tau$	0	31.6	63.2	94.8	126.4	158.0	189.6	221.2
$\frac{e_m}{e_0} \cdot 10^8$	I	$1 \cdot 10^3$	5.10	1.87	1.04	0.69	0.50	0.38
	II	$1 \cdot 10^3$	5.00	1.73	0.87	0.50	0.31	0.19

Развитие турбулизованной области в стратифицированной жидкости иллюстрируется также фиг. 5, на которой изображены изолинии  $e/e_m = \text{const}$ , проведенные с интервалом 0.1. Из представленных на фиг. 4, 5 результатов следует, что приблизительно до момента времени  $\tau = t\sqrt{e_0}/L_0 = 50$  область смешения развивается так же, как и в однородной жидкости. Примерно при  $\tau = 100$  ( $t/T = 1.73$ ) вертикальный размер области  $L_y$  в стратифицированной жидкости достигает максимума, а затем начинается ее сплющивание по вертикали.

На фиг. 6, а изображены изолинии  $\rho_1/aL_0 = \text{const}$ , представленные с интервалом 0.050, пунктирные линии соответствуют  $\rho_1 = 0$ . Соответствующее этому конвективное течение жидкости приведено на фиг. 6, б в виде изолиний  $\psi T/L_0^2 = \text{const}$  с интервалом 0.091. Обратим внимание на то, что картины конвективного течения при  $e=0$  и в данном случае сходны друг с другом (фиг. 3, б; 6, б). Следует отметить, что при  $\tau = 50$  ( $t/T = 0.87$ ) распределение дефицита плотности  $\rho_1$  мало отличается от автомодельного, полученного в случае пассивно-стратифицированной жидкости. Отсюда можно заключить, что при  $R=10^4$  развитие области смешения в стратифицированной среде происходит в основном под действием турбулентной диффузии, а влияние начального усреднения плотности в области  $A_1$  в результате перемешивания жидкости оказывается несущественным.



Фиг. 6

Последнее заключение подтверждается тем, что в случае, когда распределение плотности в начальный момент времени в области  $A_1$  задавалось таким же, как и в окружающей стратифицированной жидкости, были получены результаты, практически совпадающие с приведенными на фиг. 4–6.

Поступила 30 I 1973

#### ЛИТЕРАТУРА

1. *Wu Jin.* Mixed region collapse with internal wave generation in a density stratified medium. *J. Fluid Mech.*, 1969, vol. 35, No. 3, pp. 531–541.
  2. *Wessel W. R.* Numerical study of the collapse of a perturbation in an infinite density stratified fluid. *Phys. Fluids*, 1969, vol. 12, No. 12, pt. 2, pp. 170–176.
  3. *Padmanabhan H., Ames W. F., Kennedy J. F., Hung Tin-Kan.* A numerical investigation of wake deformation in density stratified fluids. *J. Engng Math.*, 1970, vol. 4, No. 3, pp. 229–241.
  4. *Mei C. C.* Collapse of a homogeneous fluid mass in a stratified fluid. *Proc. 12-th Internat. Congress Appl. Mech.*, Stanford Univ., 1968.
  5. *Schooley A. H., Hughes B. A.* An experimental and theoretical study of internal waves generated by the collapse of a twodimensional mixed region in a density gradient. *J. Fluid Mech.*, 1972, vol. 51, No. 1, pp. 159–175.
  6. *Koh R. C. Y.* Transient motions induced by local disturbances in a linearly density-stratified fluid. *J. Hydraulic Res.*, 1974, vol. 9, No. 3, pp. 335–353.
  7. *Hartman R. I., Lewis H. W.* Wake collapse in a stratified fluid: linear treatment. *J. Fluid Mech.*, 1972, vol. 51, No. 3, pp. 613–618.
  8. *Schooley A. H.* Wake collapse in a stratified fluid. *Science*, 1967, vol. 157, No. 3787, pp. 421–423.
  9. *Яненко Н. Н.* Метод дробных шагов решения многомерных задач математической физики. Новосибирск, «Наука», 1967.
  10. *Naudascher E.* Flow in the wake of self-propelled bodies and related sources of turbulence. *J. Fluid Mech.*, 1965, vol. 22, No. 4, pp. 625–656.
-